

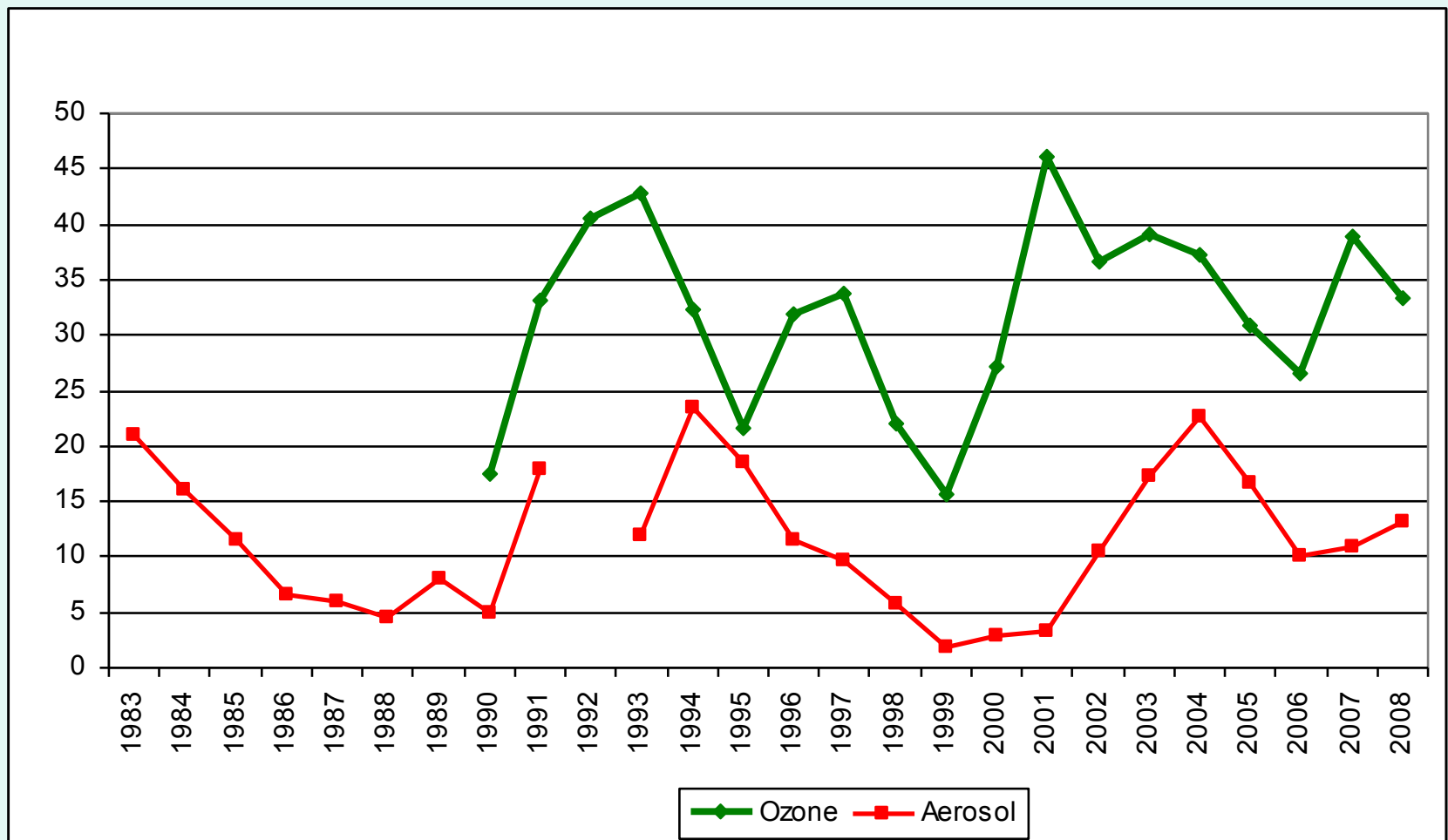
Antohin P.N., Arshinov M.Yu., Belan B.D., Belan S.B.,
Sklyadneva T.K., Tolmachev G.N.

Long-term variability of the ozone and aerosols
over Tomsk and simulation of their annual mean
concentrations for the next decade

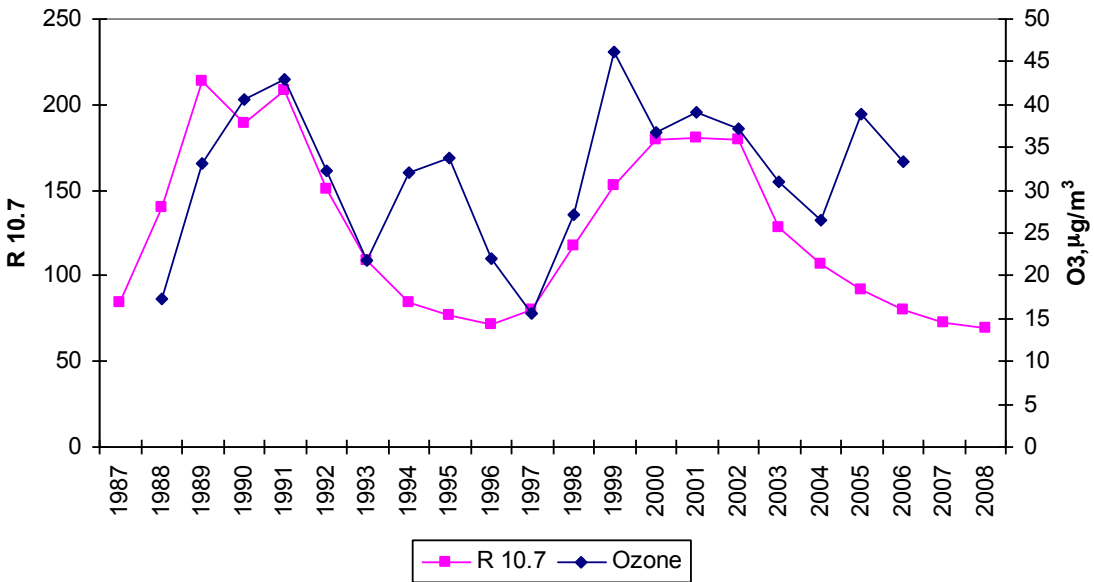
V.E.Zuev Institute of Atmospheric Optics SB RAS

ENVIROMIS-2010

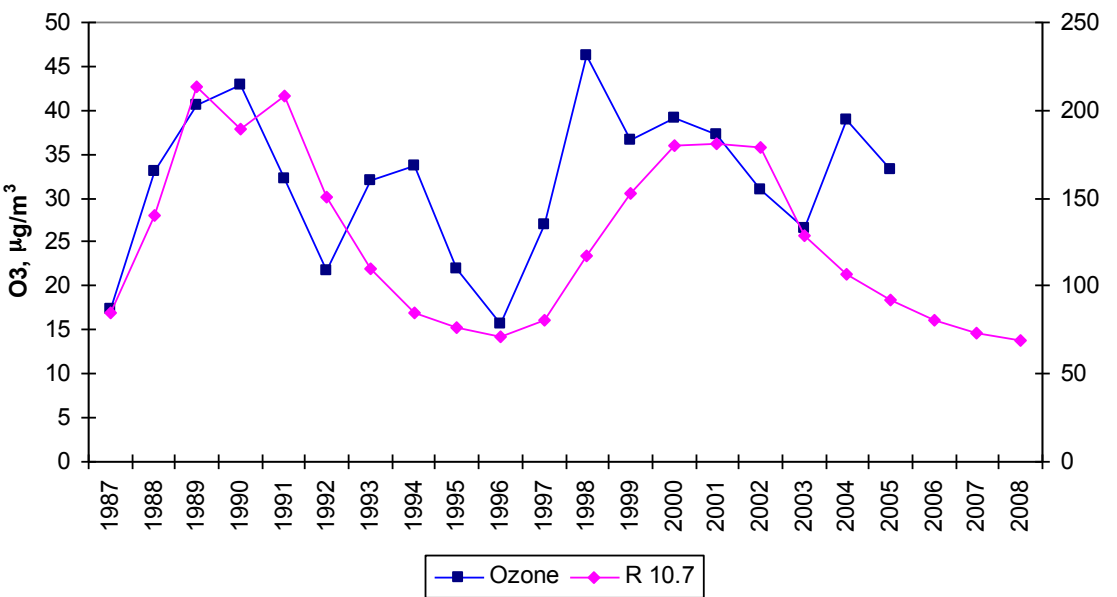
Annual mean concentrations of aerosol (cm^{-3}) and ozone ($\mu\text{g}/\text{m}^3$)



2-year shift



3-year shift



$$PKO(t) = -83.136 + 53.64 \lg(R_{10.7}(t - 2)),$$

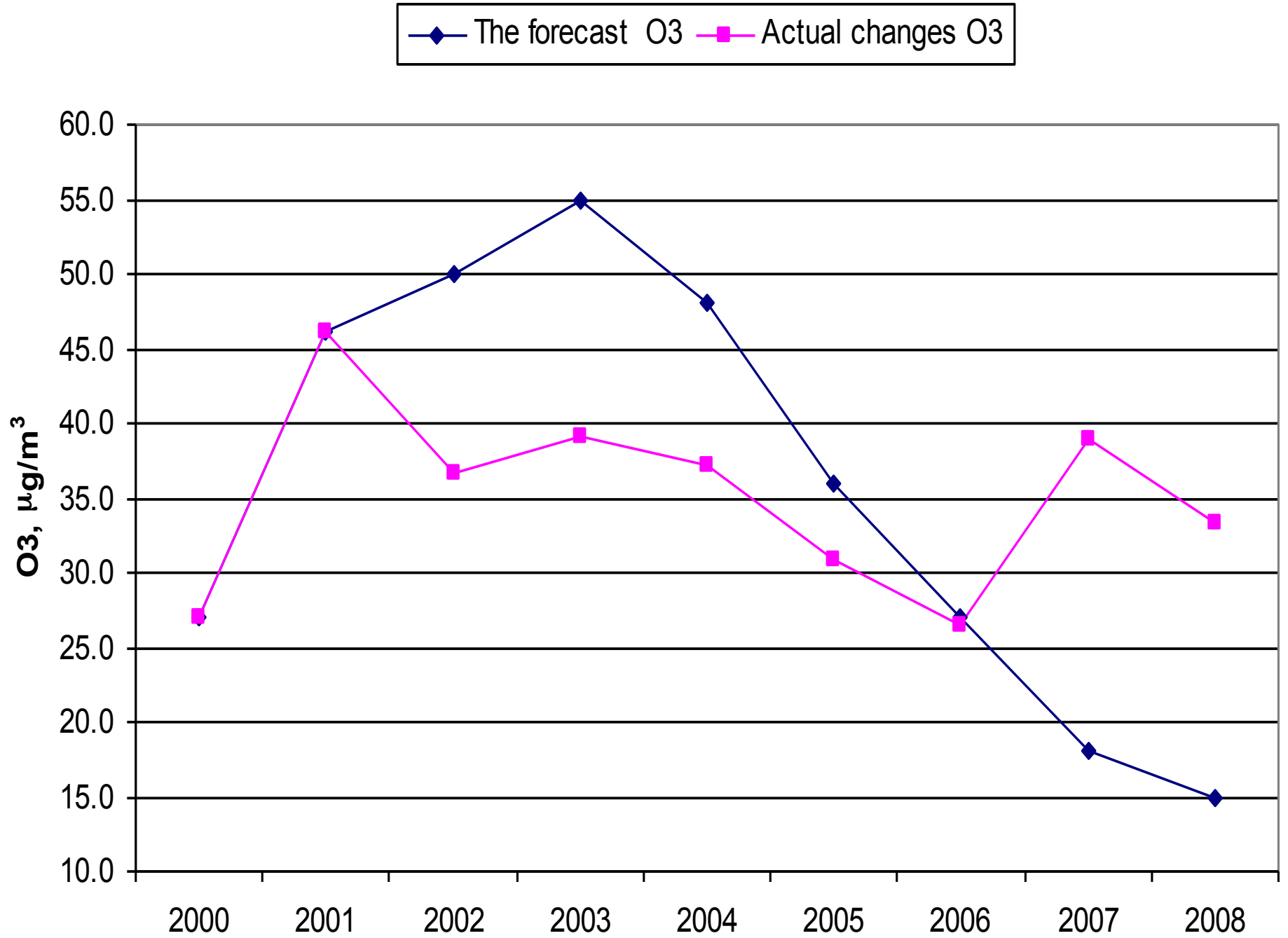
$$N(t) = -26.42 \lg(R_{10.7}(t - 3)) + 15.93 \lg(R_{10.7}(t - 3))^2.$$

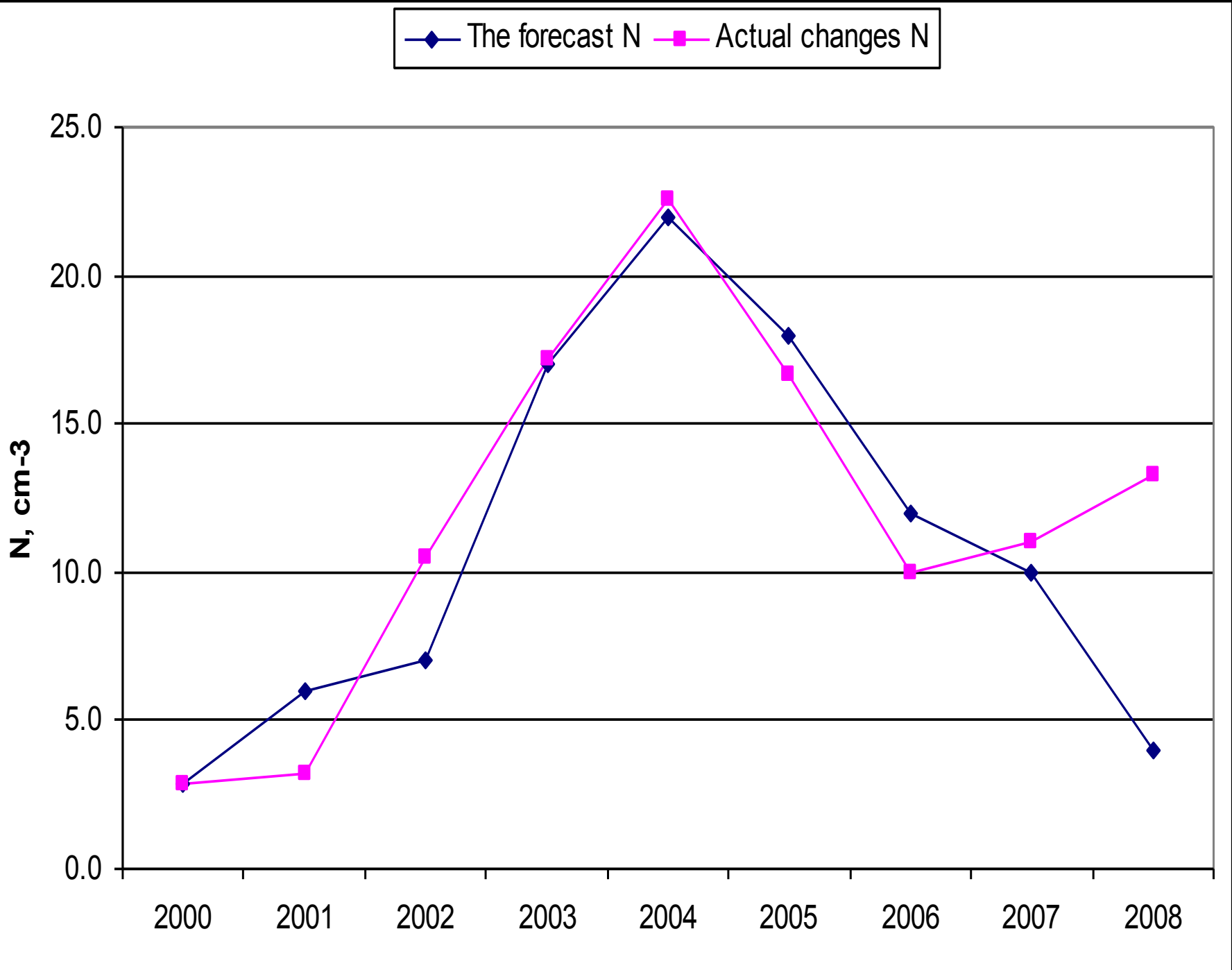
PKO(t) – среднегодовая концентрация озона, мкг/м³;

N(t) – среднегодовая счетная концентрация аэрозоля ($d \geq 0.4$ мкм), см⁻³;

R10.7 – радиоизлучение на длине волны 10.7 см, Вт/м² Гц;

t – время, годы.



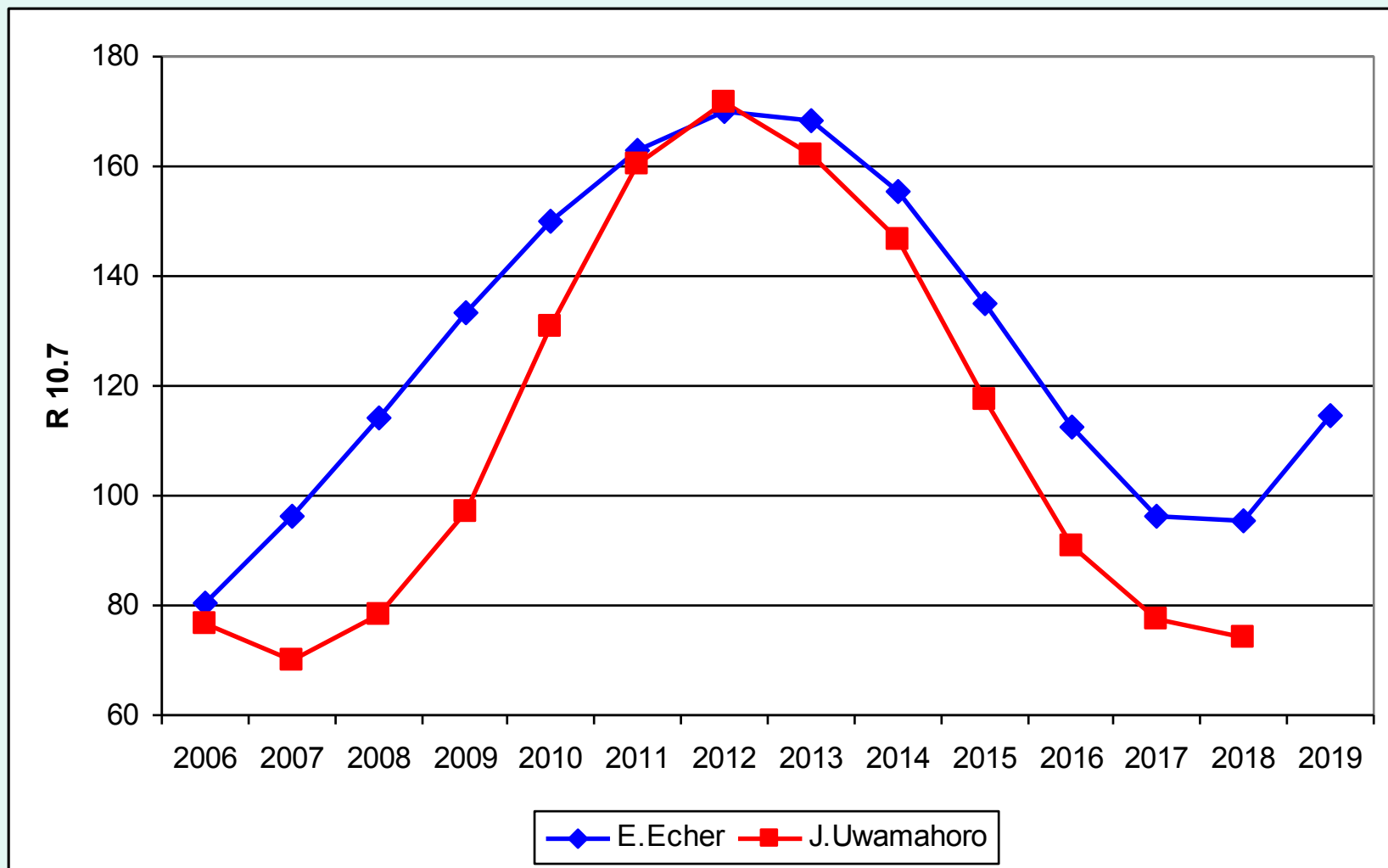


Прогноз максимальных значений чисел Вольфа и времени наступления максимумов солнечной активности

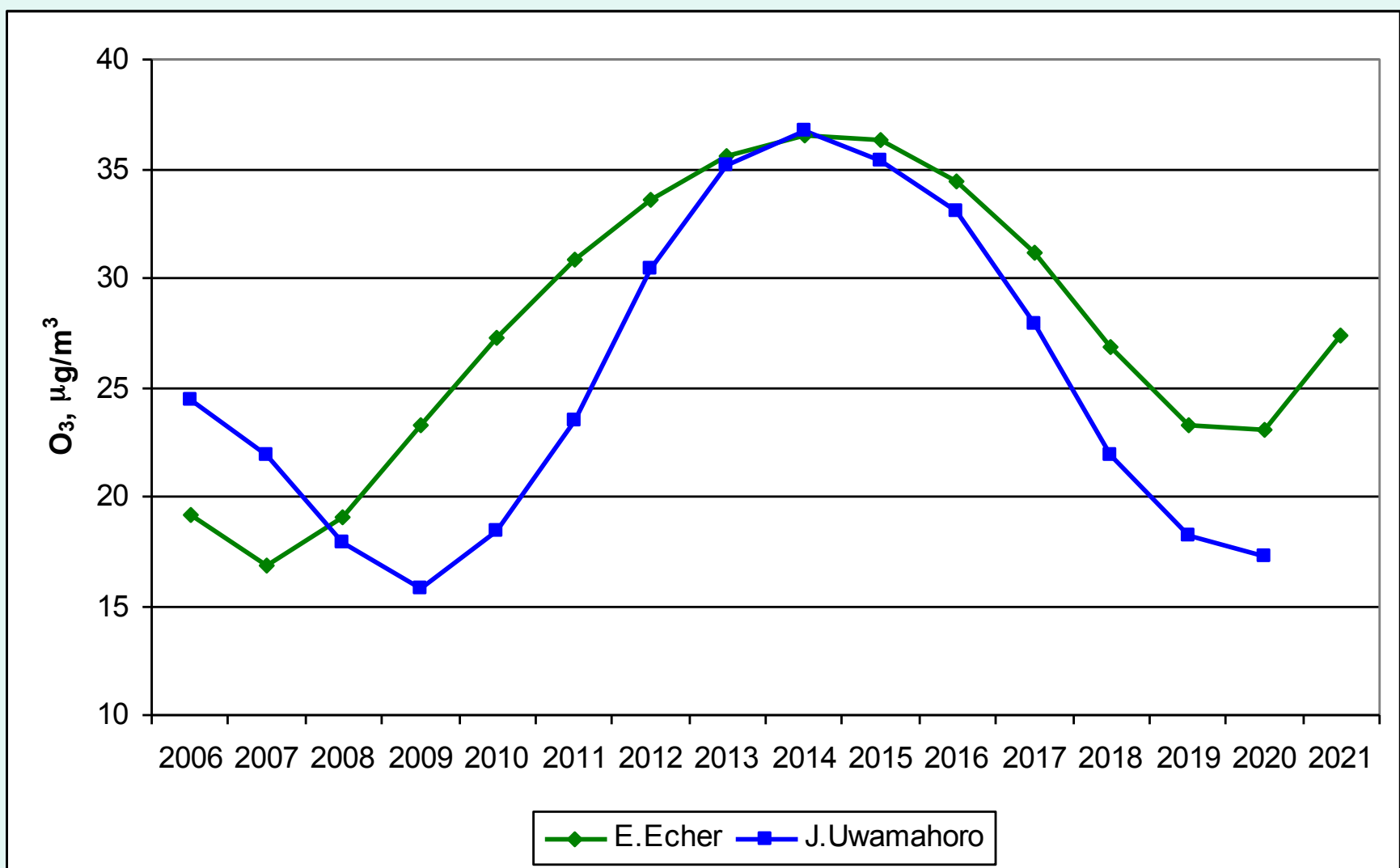
Источник	Крячко, Нусинов, 2008	Огурцов, 2009	Kane, 2008	De Jager Duhau, 2009	Dikrati, 2008	Baranovski et al, 2008	Echer et al, 2004	Uwamahoro et al, 2009
Максимум	96±13	68-101	112±36 136±36	68±17	140 120	93±21	115±13 117±13	117±9
Дата максимума	2011	2011-2012	2011-2012	2014	2011 2014	2011-2012	2012 2013	2012

E. Echer, N. R. Rigozo, D. J. R. Nordemann, L. E. A. Vieira Prediction of solar activity on the basis of spectral characteristics of sunspot number // Annales Geophysicae. 2004, v.22, 2239–2243.

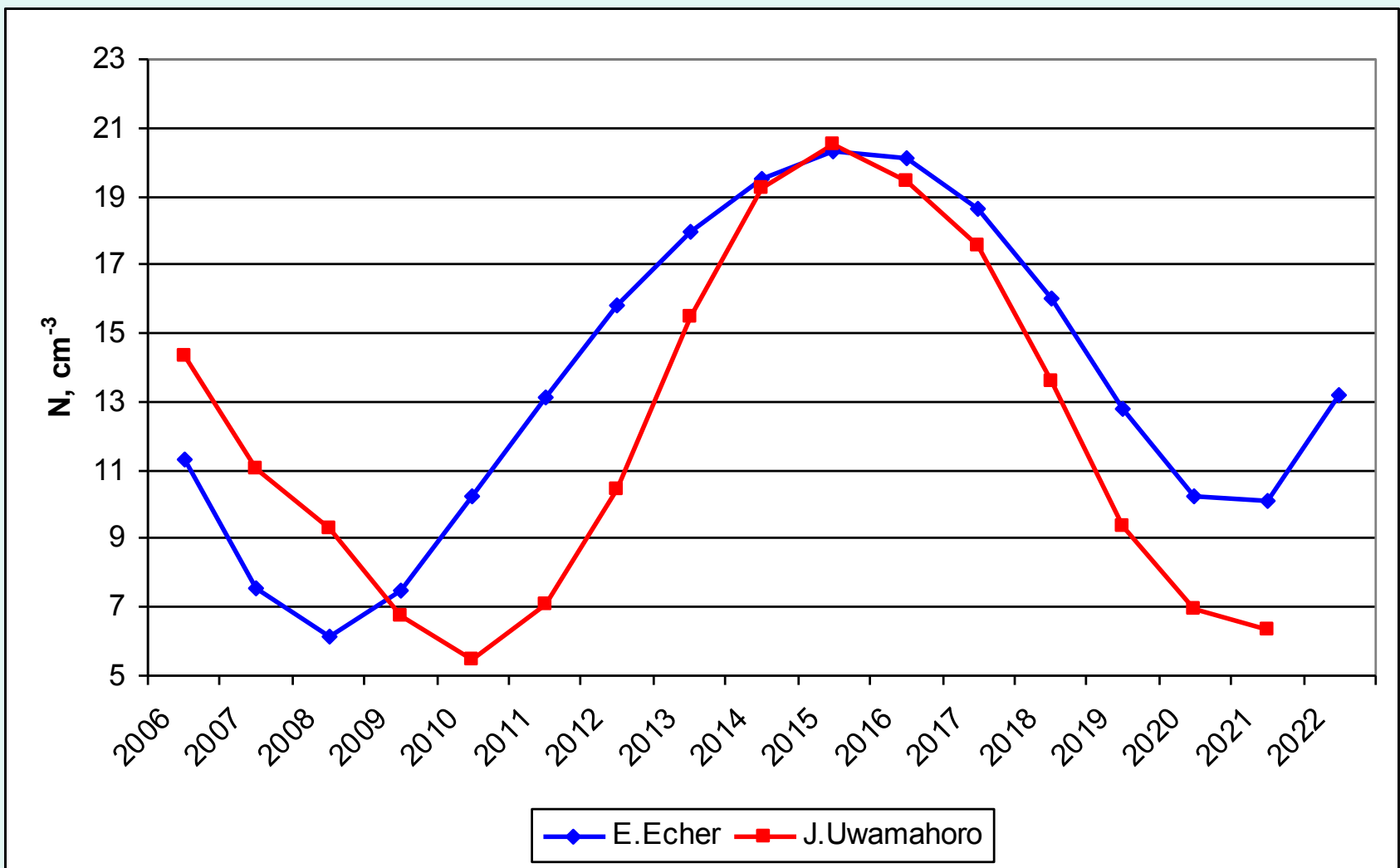
J.Uwamahoro, L.-A.McKinnell, P..J.Cilliers Forecasting solar cycle 24 using neural networks// J.Atmos.Sol.-Terr.Phys. 2009, v. 71, 569–574



Ozone



Aerosol



Thank for attention